

東京大学  
橋梁研究会  
佐藤機械  
学生員  
正員  
正員  
山田 周  
宮田 利雄  
官崎 正男

よく知られる 1:2 長方形断面柱は弹性半径 12.5cm 中で下流、いわゆる渦動振、各分数調波の強度、1:2 オーバードラフが典型的に発現する。本報告では、これらの現象、解説を行う。また、長方形柱中の、裏面圧力分布測定、実験結果を示す。考察は 1:2 の場合である。圧力測定は、断面  $25mm \times 150mm$ 、長さ  $1050mm$  の 2 次元模型を用いて、振幅数、強制加振率、行数、圧力計は  $0.2ps$  慢度、ホルダ使用（平均圧、変動圧 RMS 値）、加振変位と位相差、変動圧力のスペクトル分布を求める。実験を行なった領域 Reynolds 数は  $(1 \sim 3) \times 10^4$  程度である。

1:2 長方形断面柱は一様な気流中で弹性支障を有する（図 1）。まず、各振動応答を観測する。すなはち、上流で渦發生振動数の発展率  $U_{cr} / U_{cr}$  から上流、下流振幅 = 振速  $U_{cr}$  の  $1/3$  游動振、 $TS_1 = \text{ホルダ角} \approx 18^\circ$  と統合振動応答、 $TS_2 = U_{cr} \times 1/3 \sim 1/2$  の  $U_{cr}$  で表す。振幅の限界  $TS_3$  は、いわゆる渦動振の分数調波の初期～終期振幅応答である。これらの振動応答は質量減衰比の大きさによって影響される。図 1 に示すように、横軸は換算風速  $U_{cr}$ 、縦軸は換算風速  $U_{cr}$ 、從動部は無次元化された振幅である。

2:1 の振動応答を観測する。換算風速、無次元振幅の領域について、適当な間隔で  $U_{cr}$  を切り、その交点における換算風速、無次元振幅  $= 1/2$ 、順次模型を強制加振し、表面圧力の分布を測定する。この結果、下流、交叉 = 对称振幅の位相差、有無、変動圧力は下流で静止時のカルマン渦振動数 = 相当可成りの有無、いわゆる現象から見て、この領域で下流  $2 \times 10^4$  分割で  $TS_3$  が判明する。 $U_{cr}$  附近から上流の振動応答曲線  $\rightarrow$  1:2 分割される境界で  $TS_2 = 2 \times 10^4$  である。この境界付近風速側の領域では、図 2, 3 に示すように、平均、変動圧力分布  $\rightarrow$  模型変位の特性に大きな影響を受ける、 $TS_1 = \text{変動圧力のスペクトル分布}$  は、加振振動数成分が大きくなる（車輪）、カルマン渦振動数成分は全く存在しない（図 4）。一方、境界付近風速側の領域では、圧力分布特性に弱弱する。模型変位の影響は少なくて、加振振動数は変化せず、位相差は変化しない（図 5, 6）。また、変動圧力のスペクトル分布  $\rightarrow$  は見えて、加振振動数成分とカルマン渦振動数成分が並んで存在している。このように、領域内では圧力分布特性に大きな違いがある。下流  $U_{cr}$  附近で現象が見えて振幅の限界  $TS_3$  が振動から見えて見える。図 8 に示す下流の変動圧力、変位の位相差分布は、振動の発現による領域の初期であるが、側面で大きな変化し、変動圧力が側面風上側では振動を抑えるようになる（位相差： $0 \sim 90^\circ$  附近 加振力）、後縁附近においては逆に加振力  $\sim 1/2$  倍  $U_{cr}$  附近で現れる。図 4 に示す加振振幅が大きくなると変動圧力が側面前縁側で時に増加する（ $TS_1$ ）、位相差の特性が見えて、振動応答が限界振動  $TS_3$  で止む。この現象からこの領域の振動の特徴は、側面上での変動圧力の挙動に密接に関連すると言える。図 9 に、加振振幅を固定したときの換算風速  $U_{cr}$  平均圧力分布の変化を示すが、振動が発達する  $U_{cr} = 6.5$  以下の領域の末尾で  $U_{cr}$  以上、領域の末尾では  $U_{cr} = 10.7 \sim 13$  大きく変化し、振動が発現する領域では側面風下側で大きな圧力の回復がある。この事実と側面の後縁附近での変動圧力が加振力  $\sim 1/2$  倍  $U_{cr}$  附近で、この領域の振動は、後縁附近で大きな圧力が回復するようになること、つまりれば、差離前断層の差離位置が後縁の影響を受けた大きな変化（前方へ引く流れ）によるものである。高風速側の領域の振動、圧力分布特性は  $U_{cr}$  附近で大きな変化（前方へ引く流れ）によるものである。

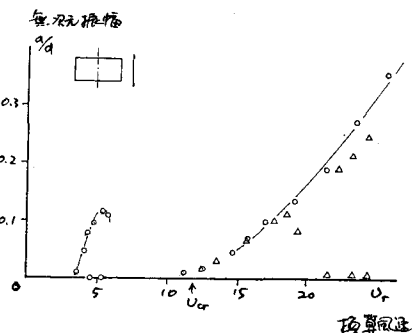


図1 1:12長方形断面角不動  
自由振動応答(-不規(流))

質量減衰比 固有振動数

10 → ○

20 → △

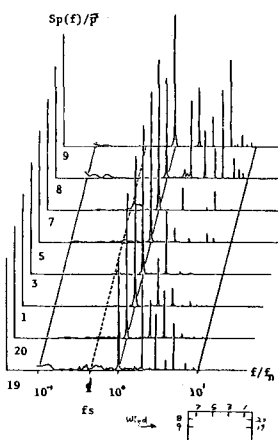


図4 頂算風速 5.5 風振元振幅 0.08

△△△の変動応答

2.0°/Hz 分布

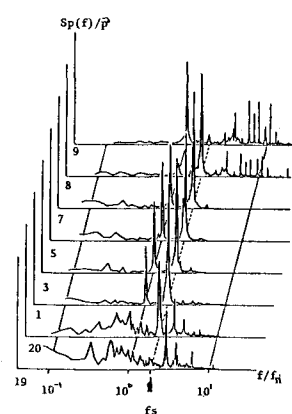


図7 頂算風速 21 風振元振幅 0.10

△△△の変動応答

2.0°/Hz 分布

$f_n$ : 周期 2.0° 減衰生振動数  
 $f_m$ : 上限振動数

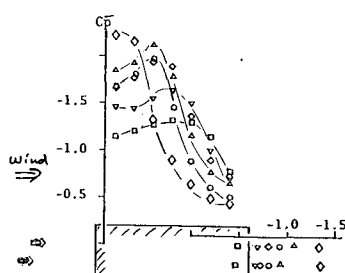


図2 頂算風速 5.5 の 22 の  
平均応力・断面平均分布  
( $C_P = P / \frac{1}{2} \rho U^2$ )

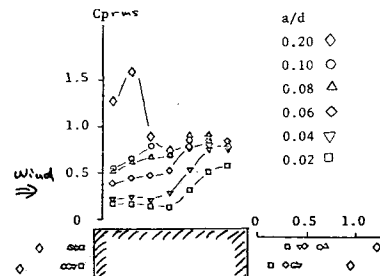


図3 頂算風速 5.5 の 22 の  
変動応力・断面平均分布  
( $C_{P\text{rms}} = (\bar{P} - \bar{P}_0)^2 / \frac{1}{2} \rho U^2$ )

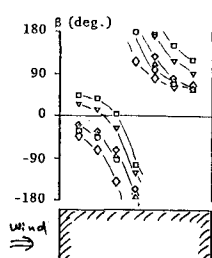


図8 頂算風速 5.5 の 22 の  
変動応力・変位比位  
相関分布

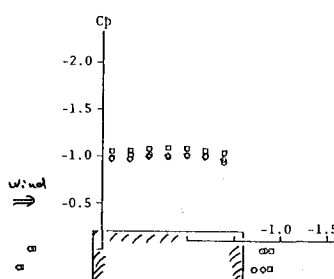


図5 頂算風速 21 の 22 の  
平均応力・断面平均分布

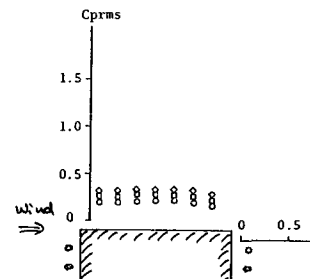


図6 頂算風速 21 の 22 の  
変動応力・断面平均分布

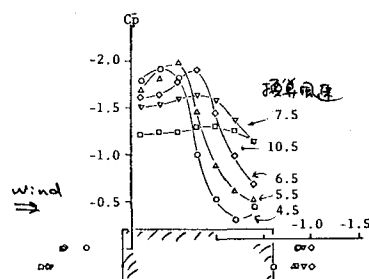


図9 平均加振振幅 0.10 の固定  
1.72° の 頂算風速の変化と  
平均応力分布の変化